

Autora: M^a Victoria Gómez Bifante

HOLOGRAFÍA DIGITAL FUERA DE EJE

Método de Fourier o técnica de filtrado

```
[1]: import cv2
import numpy as np
import matplotlib.pyplot as plt
from matplotlib.colors import LogNorm
from scipy import cluster, constants, fftpack, integrate
```

1 Creamos las gradillas y presentamos los parámetros fijos

```
[2]: N = 1650; #número máximo de píxeles recogidos de la imagen en la dirección x
M = 1160; #número máximo de píxeles recogidos de la imagen en la dirección y
deltax, deltax = (0.001, 0.001); #distancia entre píxeles
X = np.linspace(0,1,num = N+1);
Y = np.linspace(0,1,num = M+1);
x, y = np.meshgrid(X, Y); #creación del sistema N x M
theta = np.pi/4; #ángulo interferencial 1 (rad)
lamb = 632.8 *10**(-8); #longitud de onda (632.8 nm)
z = N * deltax**2 / lamb #distancia de propagación hasta el holograma
k = (2*np.pi) /lamb; #vector de propagacion en (rad/m)
```

2 Definimos las funciones que vamos a utilizar

```
[3]: def UnitBox(coordinate1, coordinate2):
    n1 = coordinate1.ndim;
    n2 = coordinate2.ndim;
    Radius= np.sqrt(coordinate1**2 + coordinate2**2);
    Disk = np.zeros_like((Radius));
    limit = 1/2;
    if (n1 == 1 & n2 == 1):
        for ii in range(0,N-1):
            if ((coordinate1[ii] <= limit) & (coordinate1[ii] >= -limit)):
                Disk[ii] = 1.0;
    elif (n1 == 2 & n2 == 2):
        for ii in range(0,N-1):
            for jj in range(0,N-1):
                if (Radius[ii][jj] < limit):
                    Disk[ii][jj] = 1.0;
    return Disk
```

```
def filter_VanderLught(I_F_): # Filtro de VanderLught

    N_2 = int(N/2);
    M_2 = int(M/2);
    Ux = np.arange(-N_2, N_2+1);
    Uy = np.arange(-M_2, M_2+1);
    [ux, uy] = np.meshgrid(Ux, Uy);
    f = 100;
    filtered_signal = (ux > (f - f//2 ))*(ux < (f + f//2));

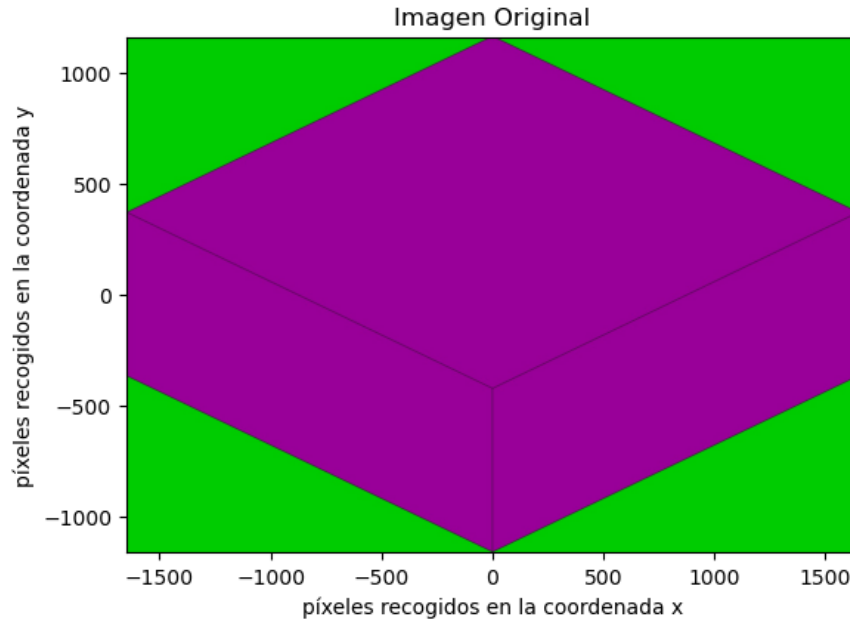
    return filtered_signal
```

3 Extraemos la información de la imagen

```
[4]: img = cv2.imread('holography_test_image_rgb.jpeg', cv2.IMREAD_UNCHANGED); #  
    ↪equivale a la matriz de variación de amplitud de la onda objeto  
img_rgb = np.float64(img); #añadimos precisión  
print('Dimensiones originales de la imagen: ',img.shape);  
print('Número total de dimensiones: ',img.ndim);  
plt.imshow(img, extent=[-N, N, -M, M])  
plt.title("Imagen Original")  
plt.xlabel("píxeles recogidos en la coordenada x")  
plt.ylabel("píxeles recogidos en la coordenada y")
```

Dimensiones originales de la imagen: (1161, 1651, 3)
Número total de dimensiones: 3

```
[4]: Text(0, 0.5, 'píxeles recogidos en la coordenada y')
```



4 La transformamos a blanco y negro

```
[5]: img = cv2.resize(img, (N, M));
img_g = cv2.imread('holography_test_image_rgb.jpeg', cv2.IMREAD_GRAYSCALE); #
    ↪mimizamos la información de la amplitud
img_gray = np.float64(img_g); #añadimos precisión
print('Dimensiones de la imagen en blanco y negro: ',img_gray.shape);
print('Número total de dimensiones de la imagen en blanco y negro: ',img_gray.
    ↪ndim);
A_0= np.fft.fftshift(np.fft.fft2(img_gray)); #amplitud distribución de amplitud
    ↪del haz objeto
plt.imshow(img_g, cmap = 'gray', extent=[-N, N, -M, M])
plt.title("Imagen en la escala de grises")
plt.xlabel("píxeles recogidos en la coordenada x")
plt.ylabel("píxeles recogidos en la coordenada y")
```

Dimensiones de la imagen en blanco y negro: (1161, 1651)

Número total de dimensiones de la imagen en blanco y negro: 2

```
[5]: Text(0, 0.5, 'píxeles recogidos en la coordenada y')
```



5 Intensidad de la interferencia en el dominio espacial

```
[6]: U0 = img_gray * np.exp(1j*np.pi/2*UnitBox(X,X))*np.exp(1j*k*x*np.sin(theta));  
      ↪ #haz objeto  
      U0= U0/ np.max(U0); #normalizamos  
      U0_abs = np.abs(U0)**2; #devuelve valores absolutos de la matriz U0  
      U0_abs = np.where(U0_abs > 0.0000000001, U0_abs, -10); #transformamos U0 a  
      ↪ escala logarítmica  
      U0_log = np.log10(U0_abs, out=U0_abs, where=U0_abs > 0);  
      UR = np.exp(1j*k*x); #haz de referencia  
      UR= UR/ np.max(UR); #normalizamos
```

```
[7]: I = np.abs(U0 + UR)**2; #intensidad resultante de la interferencia entre U0 y UR
```

6 Intensidad de la interferencia en el dominio frecuencial

```
[8]: I_F= np.fft.fftshift(np.fft.fft2(np.fft.fftshift(I))) #distribución de amplitud  
      ↪ del haz objeto inicial  
      I_F_abs = np.abs(I_F); # calculamos el valor absoluto de la intensidad en el  
      ↪ plano de Fourier  
      I_F_log = 20 * np.log10(I_F_abs); #lo convertimos a la escala logarítmica
```

7 Aplicamos el filtro sobre la intensidad espectral

```
[9]: fil= filter_VanderLught(I_F)
G = I_F *fil; # G es la distribución de amplitud resultante tras aplicar el
    ↪ filtro
G_abs = np.abs(G) #calculamos los valores absolutos de la matriz G
G_abs_ = np.where(G_abs > 0.0000000001, G_abs, -10);
G_log = np.log10(G_abs, out=G_abs, where=G_abs > 0); #transformamos G a escala
    ↪ logarítmica
```

8 Reconstrucción de la onda objeto

```
[10]: G = np.fft.ifftshift(np.fft.ifft2(np.fft.ifftshift(G )))
CF = UR * G;
CF_abs = np.abs(CF) #devuelve valores absolutos de la matriz CF
CF_abs_ = np.where(CF_abs > 0.0000000001, CF_abs, -10);
CF_log = np.log10(CF_abs, out=CF_abs, where=CF_abs > 0); #transformamos CF a
    ↪ escala logarítmica para tener información más precisa
```

9 Representación de los resultados

```
[11]: plt.figure()
plt.subplot()
plt.imshow(U0_log, extent=[-N, N, -M, M])
plt.title('Amplitud de la onda objeto')
plt.xlabel("Coordenada normalizada x")
plt.ylabel("Coordenada normalizada y")

plt.figure()
plt.subplot()
plt.imshow(np.angle(U0), extent=[-N, N, -M, M])
plt.title('Fase de la onda objeto.')
plt.xlabel("Coordenada normalizada x")
plt.ylabel("Coordenada normalizada y")

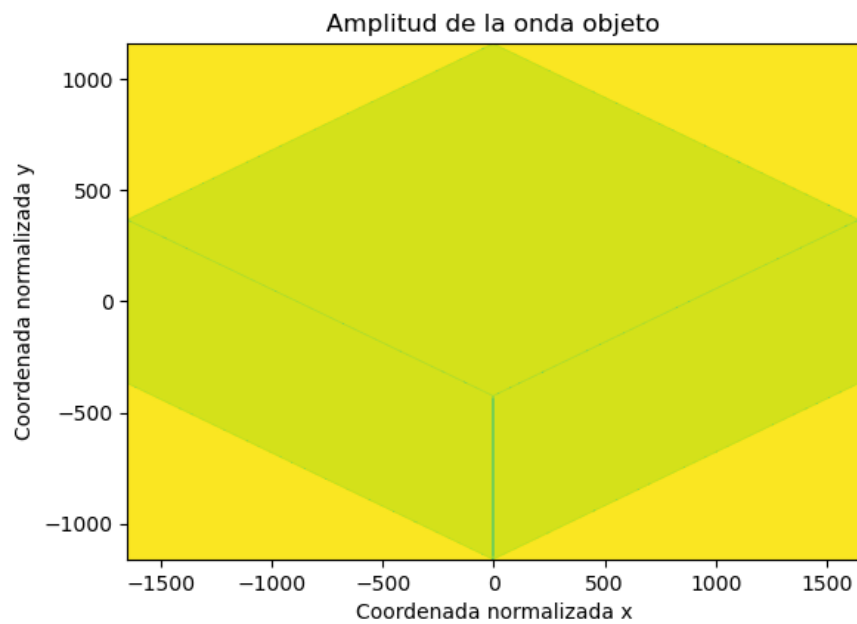
plt.figure()
plt.subplot()
plt.imshow(np.abs(UR), extent=[-N, N, -M, M])
plt.title('Amplitud de la onda de referencia.')
plt.xlabel("Coordenada normalizada x")
plt.ylabel("Coordenada normalizada y")

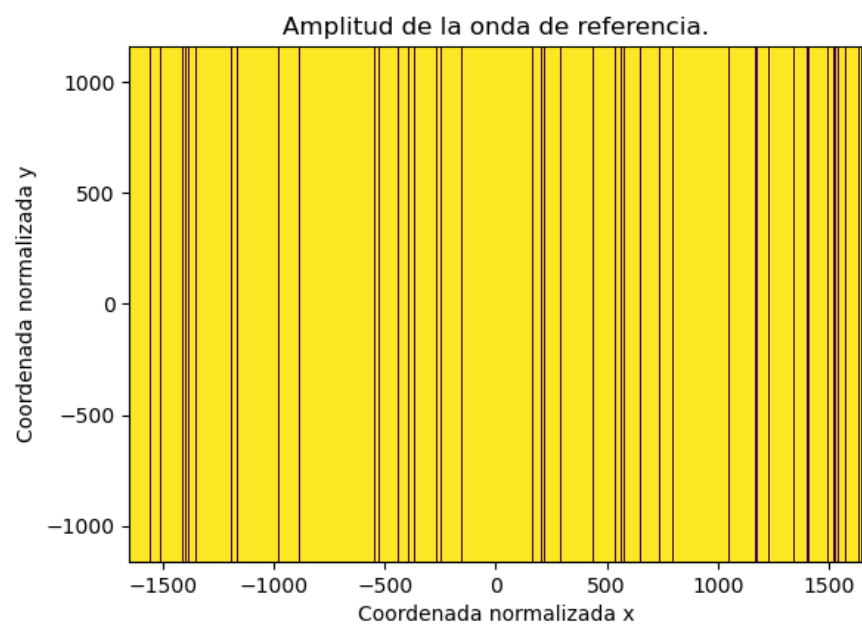
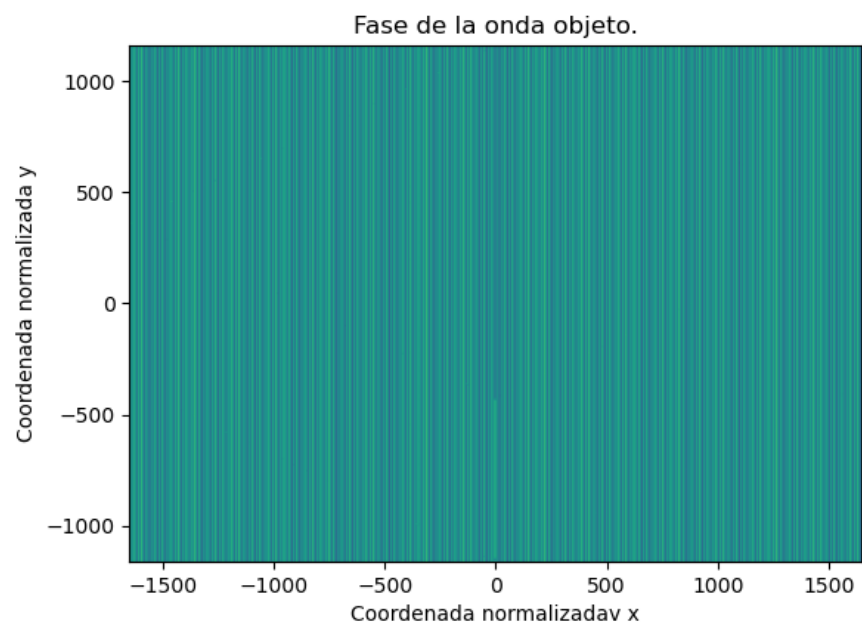
plt.figure()
plt.subplot()
plt.imshow(np.angle(UR), extent=[-N, N, -M, M])
```

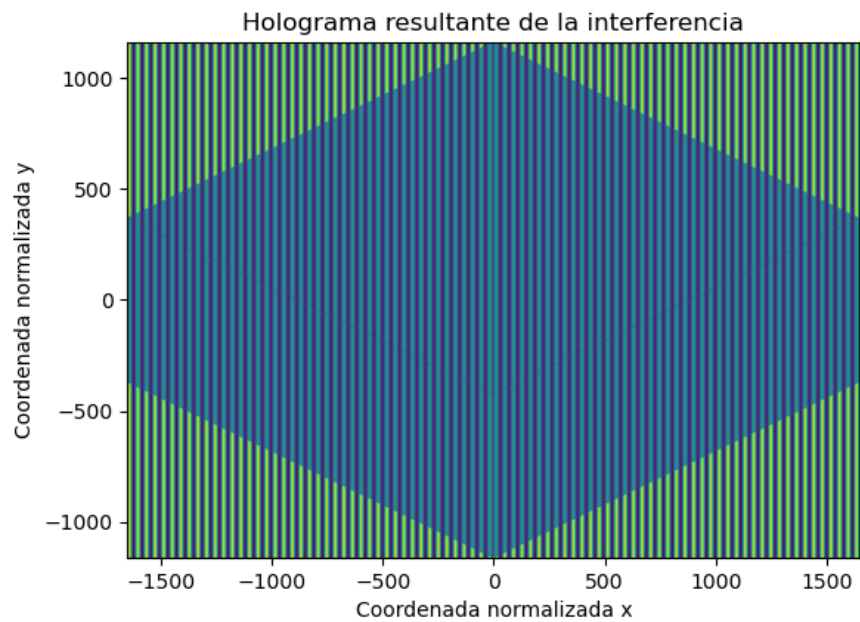
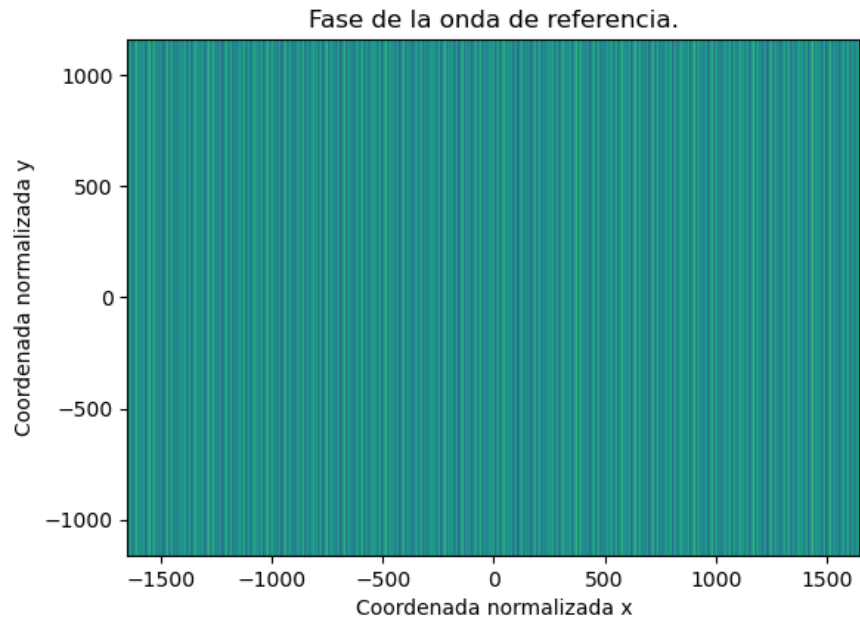
```
plt.title('Fase de la onda de referencia.')
plt.xlabel("Coordenada normalizada x")
plt.ylabel("Coordenada normalizada y")

plt.figure()
plt.subplot()
plt.imshow(I, extent=[-N, N, -M, M])
plt.title('Holograma resultante de la interferencia')
plt.xlabel("Coordenada normalizada x")
plt.ylabel("Coordenada normalizada y")
```

[11]: Text(0, 0.5, 'Coordenada normalizada y')







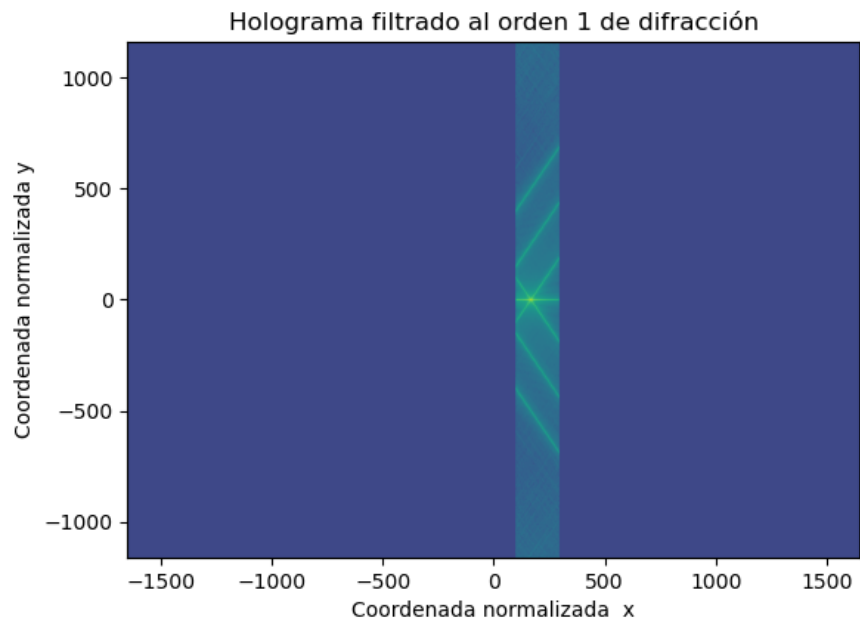
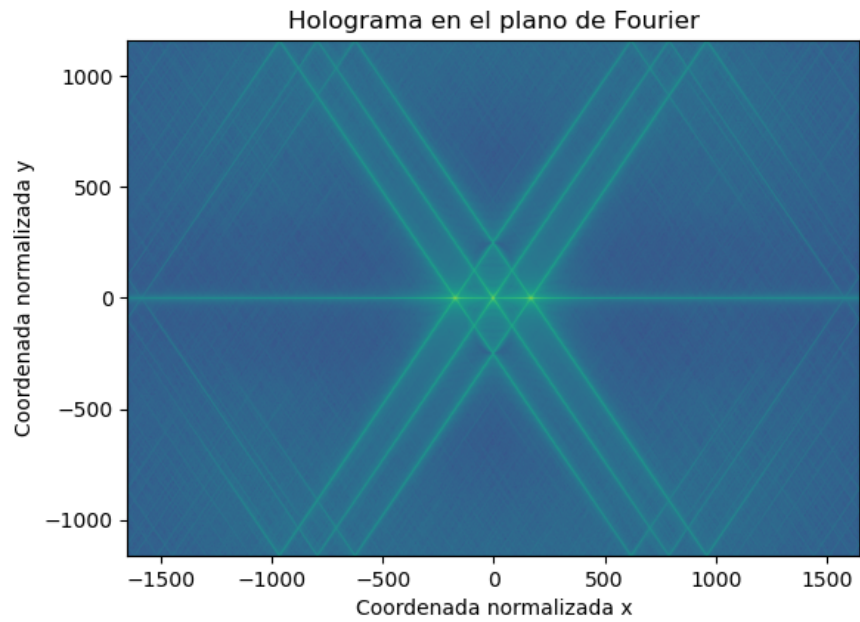
```
[12]: plt.figure()
plt.imshow(I_F_log, extent=[-N, N, -M, M])
plt.title("Holograma en el plano de Fourier")
plt.xlabel("Coordenada normalizada x")
plt.ylabel("Coordenada normalizada y")

plt.figure()
```



```
plt.imshow(G_log, extent=[- N, N, -M, M])
plt.title("Holograma filtrado al orden 1 de difracción")
plt.xlabel("Coordenada normalizada x")
plt.ylabel("Coordenada normalizada y")
```

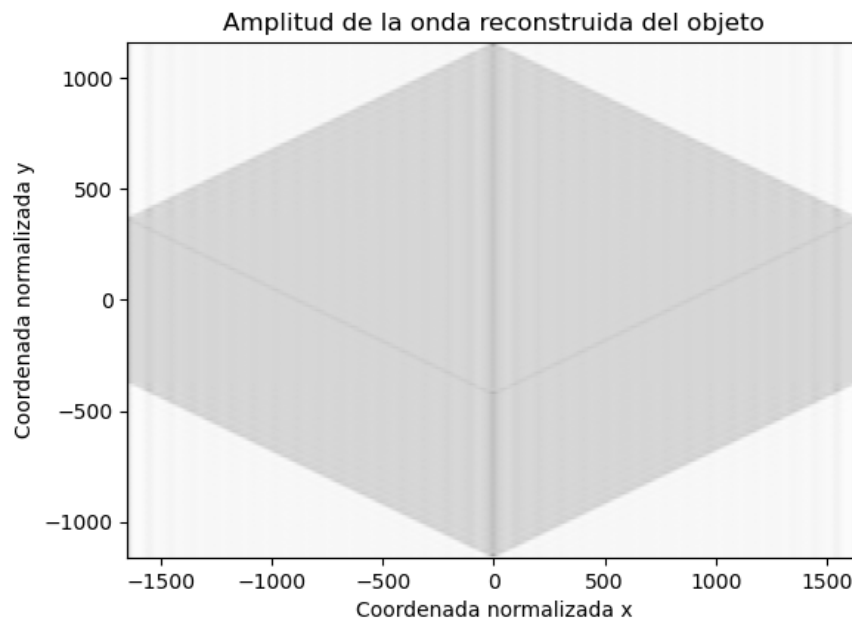
[12]: Text(0, 0.5, 'Coordenada normalizada y')

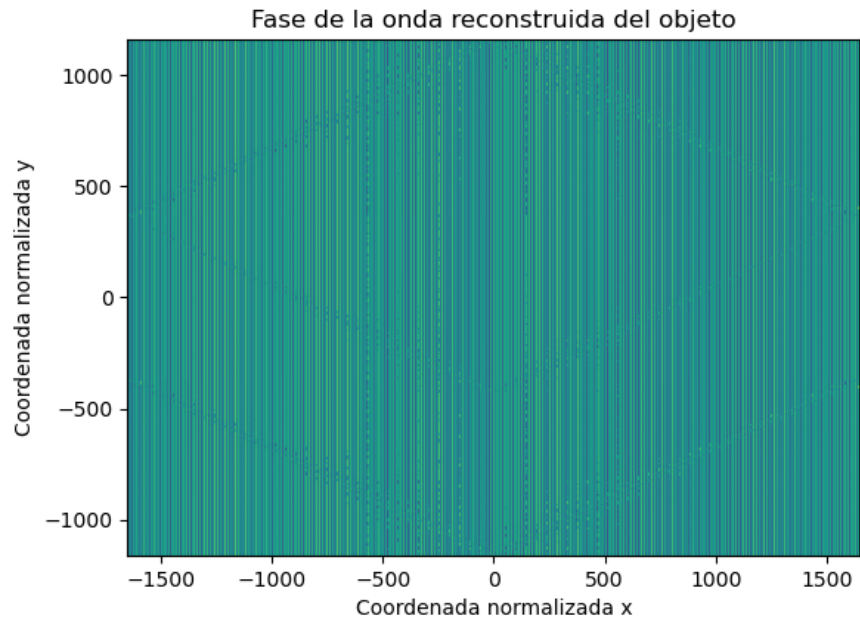


```
[13]: plt.figure()
plt.subplot()
plt.imshow(CF_log, cmap = 'gray', extent=[-N, N, -M, M])
plt.title("Amplitud de la onda reconstruida del objeto")
plt.xlabel("Coordenada normalizada x")
plt.ylabel("Coordenada normalizada y")

plt.figure()
plt.subplot()
plt.imshow(np.angle(CF), extent=[-N, N, -M, M])
plt.title("Fase de la onda reconstruida del objeto")
plt.xlabel("Coordenada normalizada x")
plt.ylabel("Coordenada normalizada y")
```

```
[13]: Text(0, 0.5, 'Coordenada normalizada y')
```





Tal y como se esperaba, el método de Fourier pierde información en la reconstrucción.